

# Сжатие без учёта контекста. Арифметическое (интервальное) кодирование

Александра Игоревна Кононова

МИЭТ

3 ноября 2023 г. — актуальную версию можно найти на  
<https://gitlab.com/illinc/otik>

## О терминах

**Символ** — элемент качественной информации  $a \in A$  (множество  $A$  — алфавит).

**Текст** — последовательность  $m \in A^+$  таких элементов.

На практике для всех алгоритмов, где алфавит может быть произвольным, **символ кодирования = байт** (так как в большинстве ЭВМ байт 8-битен — это 00...FF), **исходный текст = любой бинарный файл**, сжатый текст — тоже бинарный файл:

- использование в программе для ЭВМ символов меньших, чем байт — неудобно;
- использование символов фиксированной разрядности больших, чем байт  $\Rightarrow$  слишком большой алфавит  $\Rightarrow$  объёмные структуры данных для восстановления.
- использование в качестве символа кодирования печатного символа ASCII или koi8r/cp1251/dos/iso/maccyrillic не позволяет рассматривать в качестве исходного текста произвольный файл и приводит к труднодиагностируемым ошибкам;
- использование печатного символа UTF-8 (144 697 символов Unicode в 2023 г.) — то же самое + проигрыш в объёме.

В книгах для наглядности используются обозначения  $A, B, \dots$  и т. п. (маленький алфавит + визуальное отличие символа от индекса или частоты), но в программе это всё равно байты!



# Идея арифметического кодирования

- 1 сообщение  $C = c_1 c_2 \dots c_n$  соответствует вещественному числу (точке)  $z \in [0; 1)$ ;
- 2 точка  $z$  представляется в двоичной системе счисления.

Сколько бит требуется для полной записи  $z \in [0; 1)$ ?

Сжатие:

- 1  $z$  сохраняется **ровно** с той точностью, чтобы восстановить  $n$  символов  $C$  (цикл масштабирования);
- 2 при задании  $z$  учитываются частоты символов  $C$ .

В данной главе моделью является источник без памяти,  $p(\xi_j) = \text{const}$ .

# Арифметическое кодирование без сжатия

Строка  $D$ -ичного алфавита  $C = c_1 c_2 c_3 \dots$  — точка  
 $z = \overline{0, c_1 c_2 c_3 \dots_D}$ .

Двоичные цифры (биты)  $b_1 b_2 b_3 \dots$  дробной части двоичной  
записи того же числа  $z = \overline{0, b_1 b_2 b_3 \dots_2} = \overline{0, c_1 c_2 c_3 \dots_D}$  — код  
строки  $C$ .

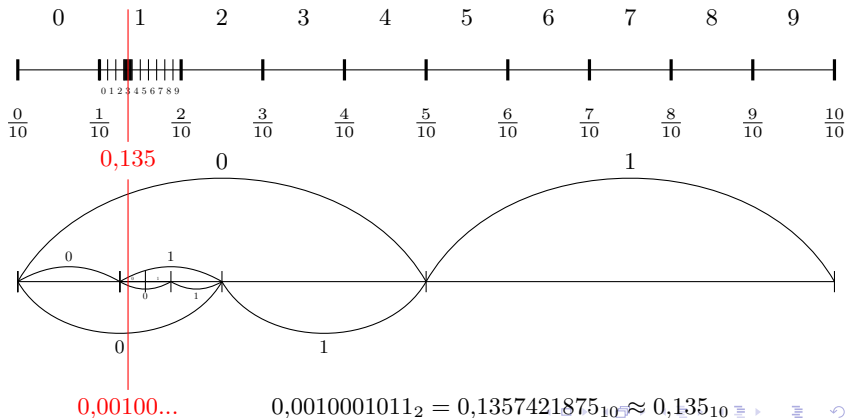
- Любое значение  $z \in [0, 1)$  имеет **бесконечное** число цифр  
(часть их может быть 0) в любой СС;  
даже для конечного числа  $D$ -ичных цифр  $\overline{0, c_1 c_2 c_3 \dots c_{nD}}$   
двоичное представление может быть бесконечно длинным  
→ **округление**;
- округление к ближайшему требует для корректного  
округления вычислить на одну цифру больше, чем надо →  
**округление к 0**.

# Геометрическая интерпретация кодирования без сжатия

$0,135_{10} = 0,001(00010100011110101110)_2$  — конечное число цифр окр-ся к 0 до  $0,134_{10}$

$$0,135_{10} \sim \begin{cases} \text{исходная длина (3 цифры)} \\ \text{любое значение } z \text{ из полуинтервала } [0,135; 0,136) = [0,135(0); 0,135(9)) \end{cases}$$

Цифра  $D$ -ичного алфавита  $c_1 c_2 c_3 \dots$  — полуинтервал  $\subseteq [0, 1)$



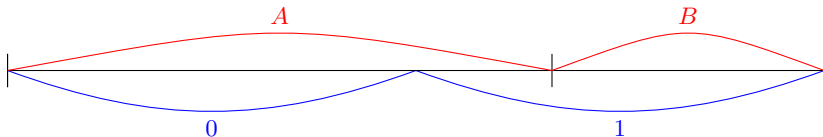
Арифметическое сжатие (концепт)  
 Интервальное кодирование (базовые положения)  
 Приведение частот  
 Интервальное кодирование (реализация)  
 Приведение частот (черновик)

О терминах  
 Идея арифметического кодирования  
 Арифметическое кодирование без сжатия  
 Геометрическая интерпретация кодирования без сжатия

# Арифметическое сжатие (концепт)

- 1 Бесконечная строка  $c_1c_2...c_nc_{n+1}...$  символов  $T$ -ичного алфавита  $A$  соответствует вещественному числу (точке) бесконечной точности в диапазоне  $[0, 1)$ .  
Соответствие аналогично позиционной системе счисления по основанию  $T$ , но диапазон разбивается на  $T$  **неравных частей пропорционально частотам символов**.
- 2 Конечная строка из  $n$  символов  $c_1c_2...c_n$  — полуинтервал (ПИ)  $[l_n, t_n) \subset ... \subset [l_1, t_1) \subset [0, 1)$ ; каждая его точка соответствует бесконечной строке, начинающейся с  $c_1c_2...c_n \implies$  выбирается  $z \in [l_n, t_n)$  с самым коротким двоичным представлением.
- 3 Полученная точка  $z$  представляется в двоичной системе счисления:  $z = 0.b_1b_2...b_m$ .  
Исходное количество символов  $n +$  битовая строка  $b_1b_2...b_m$  — код  $c_1c_2...c_n$ .

Сжимаем текст  $AABABA$ . Вероятность символа  $A = \frac{2}{3}$ ,  $B = \frac{1}{3} \implies$  диапазон  $[0; 1)$  делится  $2 : 1$ .



- 1 Все строки — ПИ  $[0, 1)$ : начинающиеся с  $A$  — ПИ  $[0, \frac{2}{3})$ , начинающиеся с  $B$  — ПИ  $[\frac{2}{3}, 1)$ .
- 2 Строки  $A...$  — ПИ  $[l_1, t_1) = [0, \frac{2}{3}) \subseteq [0, 1)$ : вторая  $A$   $[0, \frac{4}{9})$ , вторая  $B$   $[\frac{4}{9}, \frac{2}{3})$  и т. д.

⏪ ⏩ ⏴ ⏵ ⏶ ⏷ ⏸ ⏹ ⏺ ⏻ ⏼ ⏽ ⏾ ⏿ 🔍

Арифметическое сжатие (концепт)

Интервальное кодирование (базовые положения)

Приведение частот

Интервальное кодирование (реализация)

Приведение частот (черновик)

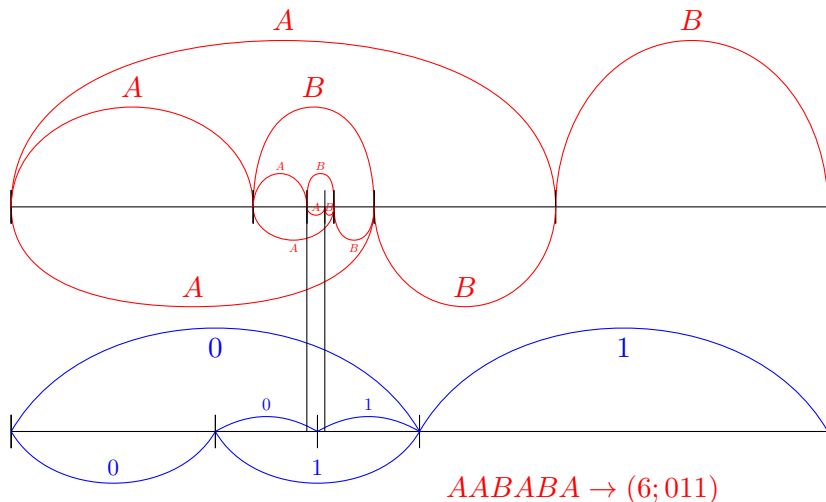
Геометрическая интерпретация арифметического сжатия

Длина арифметического кода (концепт; целочисленный длиннее)

Сравнение с кодами Хаффмана (один символ)

Точность, необходимая для реализации концепта арифметического сжатия

# Геометрическая интерпретация арифметического сжатия



БАНАН → (5; 11010111) ↔ 011\_

Арифметическое сжатие (концепт)  
 Интервальное кодирование (базовые положения)  
 Приведение частот  
 Интервальное кодирование (реализация)  
 Приведение частот (черновик)

Геометрическая интерпретация арифметического сжатия  
 Длина арифметического кода (концепт; целочисленный длиннее)  
 Сравнение с кодами Хаффмана (один символ)  
 Точность, необходимая для реализации концепта арифметического сжатия

## Длина арифметического кода (концепт; целочисленный длиннее)

Вероятности: в данной главе везде моделью является источник без памяти,  $p(\xi_j) = \text{const}$

Для строки  $C = c_1 c_2 \dots c_n$  длина итогового ПИ  $t_n - l_n = \Delta_n = p(c_1) \cdot p(c_2) \cdot \dots \cdot p(c_n) = p(C)$

Если  $\Delta_n \geq \frac{1}{2^k}$ , то  $\exists z \in [l_n, t_n)$  не более  $k$  двоичных разрядов после запятой (м.б. короче):

$$|code(C)| \leq k = \left\lceil \log_2 \left( \frac{1}{\Delta_n} \right) \right\rceil = \left\lceil \log_2 \left( \frac{1}{p(C)} \right) \right\rceil = \lceil I(C) \rceil \text{ бит}$$

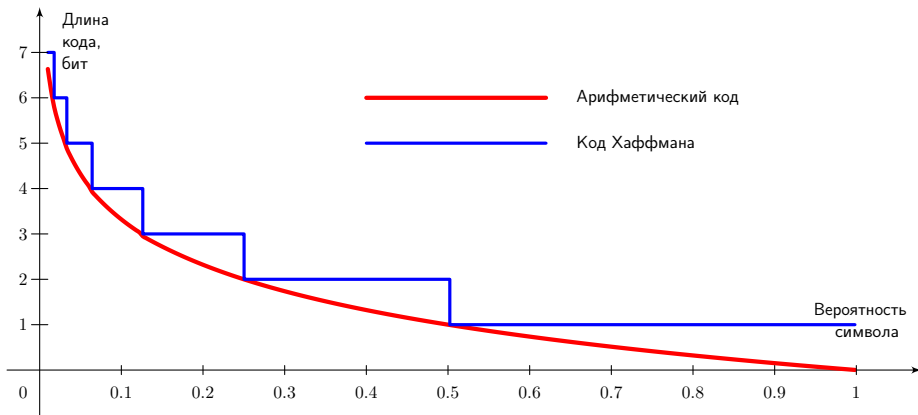
Для  $AABABA$ :  $\Delta_6 = \frac{2}{3} \cdot \frac{2}{3} \cdot \frac{1}{3} \cdot \frac{2}{3} \cdot \frac{1}{3} \cdot \frac{2}{3} = \frac{2^4}{3^6} \approx 0,02 \gtrsim 2^{-6} \implies \text{длина кода} \leq 6 \text{ бит}$

20  $A$  и 10  $B$  (30 символов):  $\Delta_{30} = \frac{2^{30}}{3^{30}} \approx 2^{-27,5} \implies \leq 28 \text{ бит}$

Начиная с какого  $m$  сообщение из  $2m$   $A$  и  $m$   $B$  кодируется гарантированно короче  $3m$  бит?



# Сравнение с кодами Хаффмана (один символ)



Степень сжатия на типичных данных на 1-10% лучше кода Хаффмана.

Не увеличивает размера исходных данных в худшем случае.

## Точность, необходимая для реализации концепта арифметического сжатия

Для концепта арифметического сжатия необходимо представлять все границы ПИ  $[0, 1) \supseteq [l_1, t_1) \supseteq \dots \supseteq [l_n, t_n) \ni z$  (дроби со знаменателем  $D^n$ ) **абсолютно точно**.

- 1 В двоичной СС конечно представимы только дроби со знаменателем  $2^n$ , в десятичной — со знаменателем  $2^n 5^k$  (так, непредставима  $\frac{1}{3}$ ).
- 2 При округлении при кодировании и декодировании погрешность накапливается.
- 3 При использовании *float/double* выполняется непредсказуемое округление + на ПИ  $[0, 1)$  используется 30/62 бит в целом и 23/52 бита мантиссы.

Целочисленная реализация арифметического сжатия — **интервальное кодирование**:

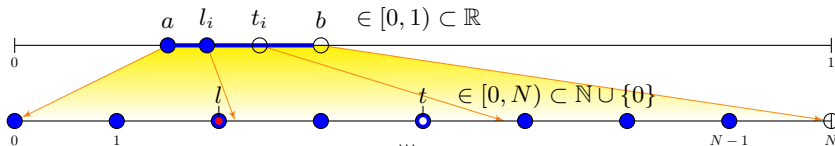
- 1 погрешность при декодировании должна накапливаться точно таким же образом, как при кодировании  $\implies$  исходную строку можно восстановить;
- 2 чем она больше, тем длиннее код  $\iff$  **код не совпадает с концептом**, хотя начало будет похожим;

в интервальном кодировании некоторый **фрагмент**  $[a, b)$  вещественного ПИ  $[0, 1)$  изображается в виде целочисленного ПИ  $[0, N)$ ; операции — целочисленные.

# Цифровой микроскоп Ньютона

Некоторый **фрагмент**  $[a, b]$  вещественного полуинтервала (ПИ)  $[0, 1)$  изображается в виде целочисленного ПИ  $[0, N)$

$$[a, b] \rightarrow [0, N) \left( [l_i, t_i] \subseteq [a, b] \subseteq [0, 1) \right) \quad N \gg 4D^2, \frac{N}{4} \in \mathbb{N}$$



Рассматриваем вместо настоящих  $l_i$  и  $t_i$  из  $[0, 1)$  их изображения на  $[0, N)$  (целые) — одной паре  $l_i$  и  $t_i$  могут соответствовать **разные** изображения  $l$  и  $t$  при рассмотрении разных  $[a, b]$ .

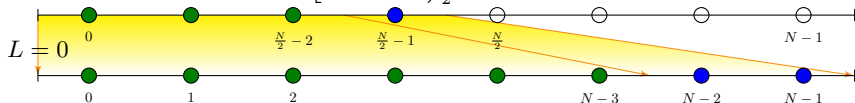
Вначале  $[a, b] = [0, 1)$ , потом каждый раз при возможности уменьшается вдвое, чтобы изображающий  $[l_i, t_i]$  целочисленный ПИ  $[l, t]$  не стал короче  $\frac{N}{4}$ .

Приближаем («микроскоп Ньютона») одну из половин  $[a, b] \implies$  новые изображения  $l$  и  $t$  масштабируются из старых изображений ( $l_i, t_i \in \mathbb{R}$  недоступны).

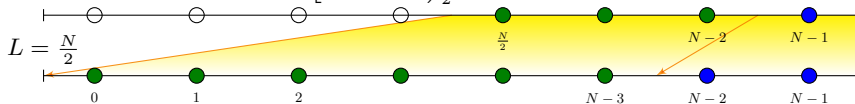
# Масштабирование (нормализация) и биты двоичного представления

приближаем часть ПИ  $[L, L + \frac{N}{2})$  — изображаемый ПИ  $[a, b)$  уменьшается вдвое, длины на изображении увеличиваются вдвое (масштабирование  $x \rightarrow 2(x - L)$ ).

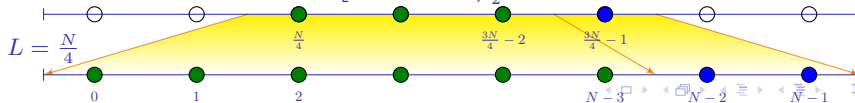
$[a, b) = [0, \frac{1}{2}) = [0, 0; 0, 1)_2 = [0, 0; 0, 0(1))_2$  : первый бит  $z \in [l_i, t_i) \subseteq [a, b)$  всегда 0



$[a, b) = [\frac{1}{2}, 1) = [0, 1; 1, 0)_2 = [0, 1; 0, 1(1))_2$  : первый бит  $z \in [a, b)$  всегда 1



$[a, b) = [\frac{1}{4}, \frac{3}{4}) = [0, 01; 0, 11)_2 = [0, 01; 0, 10(1))_2$  : второй бит  $z \in [a, b)$  инверсен первому



Арифметическое сжатие (концепт)  
Интервальное кодирование (базовые положения)  
Приведение частот  
Интервальное кодирование (реализация)  
Приведение частот (черновик)

Цифровой микроскоп Ньютона  
Масштабирование (нормализация) и биты двоичного представления  
Частота масштабирования  
Величины и требования

## Частота масштабирования

- Шаг масштабирования = бит выходного потока:
  - 1 простейший случай (размер выходного файла наименьший; медленно; рассматривается ниже) — масштабирование выполняется при любой возможности, **выходной поток битовый**;
  - 2 байтовый выходной поток — масштабирование откладывается (увеличивается выходной файл; быстрее; необходимо  $N \gg 256D^2$ ).
- Реализовать кодирование более-менее длинного сообщения без масштабирования невозможно.
- Схема масштабирования при декодировании должна быть **точно такой же**, как и при кодировании — иначе декодированное не совпадёт с исходным. Также должны совпадать и  $\nu_j$  ( $\implies D$  и  $\omega_j$ ), и  $N$ , и разрядность вычислений.

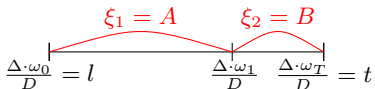
## Величины и требования

Алфавит из  $T$  символов:  $\xi_1, \xi_2, \dots, \xi_T$ , частоты  $\nu_1, \nu_2, \dots, \nu_T \in \mathbb{N}$ ,  
сортируются по убыванию  $\nu_1 \geq \nu_2 \geq \dots \geq \nu_T$ .

Деление пропорционально  $\nu_j$ :

$$\begin{cases} \omega_0 &= 0, \\ \dots & \\ \omega_j &= \omega_{j-1} + \nu_j, \\ \dots & \\ \omega_T &= \omega_{T-1} + \nu_T. \end{cases}$$

$D = \omega_T = \sum_j \nu_j$  — делитель, не обязательно  $2^\kappa$ .



Изменение отрезка при чтении символа  $c_i = \xi_j$ :  $\Delta = t - l$ ,  $\begin{cases} l \rightarrow l + \frac{\Delta \cdot \omega_{j-1}}{D} \\ t \rightarrow l + \frac{\Delta \cdot \omega_j}{D} \end{cases}$

новый  $[l, t)$  снова делится: в вещественном концепте — до исчерпания  $c_1 c_2 \dots c_n$ ;  
в целочисленной — пока не станет слишком маленьким (затем масштабирование).

Выбор  $N$  для кодирования:  $N \dot{\vdash} 4$  (для масштабирования);

расчёт без переполнения  $\implies \textcircled{1} N \cdot D \leq \max(\text{type})$ ;  
 $\Delta > \frac{N}{4}$  дважды делится на символы  $\implies \textcircled{2} N \gg 4D^2$ .  $\left. \begin{array}{l} \textcircled{1} N \cdot D \leq \max(\text{type}) \\ \textcircled{2} N \gg 4D^2 \end{array} \right\} \implies \text{огр. } D$

Выбор  $N$  для декодирования: деление на 2 всегда точно  $\implies \textcircled{3} N = 2^\alpha, \alpha \gg 1$

## Приведение частот

Для вычислений требуется  $T$  ненулевых частот в порядке убывания ( $\nu_1 \geq \nu_2 \geq \dots \geq \nu_T$ ,  $\sum_{j=1}^T \nu_j = D$ );

но хранить, как и для Хаффмана, нужно частоты всех  $2^k$  возможных символов ( $k$ -битных байтов):

$\vec{\nu} = (\nu(0), \nu(1), \dots, \nu(2^k - 1))$ , из них  $T$  ненулевых и  $2^k - T$  нулевых;  $\sum_{j=0}^{2^k-1} \nu(j) = D$ .

Из файла длины  $n$  символов  $\overrightarrow{count} = (count(0), count(1), \dots, count(2^k - 1))$ ;  $\sum_{j=0}^{2^k-1} count(j) = n$ .

- 1 Для вычислений требуется  $D^2 \ll \frac{N}{4} \implies$  частоты **обязательно** нормируются:
 
$$\begin{cases} \nu(0) + \nu(1) + \dots + \nu(2^k - 1) \approx D_{\text{желаемое}}, \\ \nu(0) : \nu(1) : \dots : \nu(2^k - 1) \approx count(0) : count(1) : \dots : count(2^k - 1), \end{cases} \quad \nu(j) \in \mathbb{N} \cup \{0\}.$$
- 2 Арифметическое/интервальное кодирование принципиально не может записать символ с  $\nu_j = 0 \implies$  ненулевые частоты не должны переходить в нулевые:
 
$$\nu(j) = 0 \Leftrightarrow count(j) = 0.$$

## Выбор $D_{\text{жел}}$

Пусть  $\nu_1, \nu_2, \dots, \nu_T \in \mathbb{N}$  (то есть ненулевые!), такие, что  $\sum_{j=1}^T \nu_j = D$ :

- чем меньше  $D$ , тем точнее вычисления  $\implies$  меньше размер сжатых данных;
  - но при слишком малых  $D$  менее точны  $\nu(i) : \nu(j) \approx \text{count}(i) : \text{count}(j) \implies$  модель не соответствует исходному файлу  $\implies$  больше размер сжатых данных.
- 1 Если  $D < T$ , такие  $\nu_1, \nu_2, \dots, \nu_T \in \mathbb{N}$  вообще невозможны.
  - 2 Если  $D = T$ , то  $(\nu_1, \nu_2, \dots, \nu_T) = (1, 1, \dots, 1) \implies$  код фиксированной ширины.
  - 3 Если  $D = 2T$ , при равных частотах  $(\nu_1, \nu_2, \dots, \nu_T) = (2, 2, \dots, 2)$ ; большие отклонения от  $\text{count}(i) : \text{count}(j) = 1 : 1$  возможно отразить, малые нет.  
И т. д.: при равных частотах и  $D = 4T$   $\vec{\nu} = (4, 4, \dots, 4)$ , при  $D = 8T$   $(8, 8, \dots, 8)$ ...

Для  $k$ -битного байта  $T_{\text{max}} = 2^k$ , в общем случае  $D_{\text{жел}} \geq 8T_{\text{max}} = 8 \cdot 2^k = 2^{k+3}$ .

Если частоты приведены к  $\sum \nu_j = D_{\text{жел}} = 2^\kappa$ , для записи  $\nu_j$  достаточно  $\kappa$  бит ( $\kappa > k$ , более байта):

- либо  $\exists i: \nu_i = 2^\kappa$  и  $\forall j \neq i: \nu_j = 0 \implies$  записывается  $\nu_i = 1$  и  $\nu_j = 0$  при  $j \neq i$ ,  $|\text{code}(c_1 c_2 \dots c_n)| = 0$  бит (вырожденный случай);
- либо  $\forall j: \nu_j < 2^\kappa \implies$  все  $\nu_j$  записываются  $\kappa$  битами.





# Приведение $\sum count(j) = n$ к $\sum \nu(j) = D_{\text{жел}}$

**А** Соотношения всех частот немного искажаются,  $D_{\text{жел}} \geq T$ :

$$x(j) = \begin{cases} 0, & count(j) = 0, (2^k - T) \text{ штук;} \\ \frac{(count(j)-1) \cdot (D_{\text{жел}} - T)}{n - T} + 1, & count(j) > 0, T \text{ штук;} \end{cases} \quad \nu(j) = \text{round}_{\Sigma} (x(j)).$$

**В** Соотношения меньших искажаются сильнее,  $D_{\text{жел}} \geq 4T$ :

$$x(j) = \begin{cases} 0, & count(j) = 0; \\ 1, & 1 \leq count(j) < \frac{3n}{2D_{\text{жел}}}, T_1 \text{ штук, } \sum count = n_1; \\ \frac{count(j) \cdot (D_{\text{жел}} - T_1)}{n - n_1}, & count(j) \geq \frac{3n}{2D_{\text{жел}}}; \end{cases} \quad \nu(j) = \text{round}_{\Sigma} (x(j)).$$

Если округлять к ближайшему,  $\nu(j) = \text{round} (x(j))$ , то  $\sum \nu(j) \approx D_{\text{жел}}$  — не обязательно точно.

$\text{round}_{\Sigma}$  **с сохранением суммы:**  $\nu(j) = \lfloor x(j) \rfloor$ ,  $\Delta_{\nu} = D_{\text{жел}} - \sum \nu(j)$  — целое и  $\Delta_{\nu} = \sum \{x(j)\} \leq T$ ;  $\Delta_{\nu}$  раз ищем  $j$  с наибольшим  $\{x(j)\}$  и заменяем  $\nu(j) \rightarrow \nu(j) + 1$ ,  $\{x(j)\} \rightarrow 0$ ; в итоге  $\sum \nu(j) = D_{\text{жел}}$ .

Целочисленное,  $x(j)$  вида  $\frac{u(j) \cdot D}{U}$ :  $\nu(j) = \left\lfloor \frac{u(j) \cdot D}{U} \right\rfloor$ ; вместо  $0 \leq \{x(j)\} < 1$  целое  $0 \leq (u(j) \cdot D) \% U < U$ .

## Приведение (А) и (В)

Пусть  $D_{\text{жел}} = 2^6 = 64$  и  $\overrightarrow{\text{count}} = (0, 3, 1, 46, 47, 1, 0, 2)$ ,  $n = \sum \text{count}(j) = 100$ ; ненулевых частот  $T = 6$ ,  $y(j) = \lfloor x(j) \rfloor$ ,  $r(j) \sim \{x(j)\}$ ,  $\nu(j)$  округлены с сохранением суммы и  $\tilde{\nu}(j)$  к ближайшему.

Приведение (А):  $D_{\text{жел}} - T = 58$ ,  $n - T = 94$ :

$$\begin{cases} \text{count}(j) = 0: & y(j) = 0, & r(j) = 0; \\ \text{count}(j) > 0: & y(j) = \left\lfloor \frac{(\text{count}(j)-1) \cdot (D_{\text{жел}}-T)}{n-T} \right\rfloor + 1, & r(j) = \left( (\text{count}(j) - 1) \cdot (D_{\text{жел}} - T) \right) \% (n - T). \end{cases}$$

Приведение (В):  $\frac{3n}{2D_{\text{жел}}} \approx 2,3 \Rightarrow$  значений  $1 \leq \text{count}(j) < \frac{3n}{2D_{\text{жел}}}$  в массиве  $T_1 = 3$ , их сумма  $n_1 = 4$ :

$$\begin{cases} \text{count}(j) = 0: & y(j) = 0, & r(j) = 0; \\ 1 \leq \text{count}(j) < \frac{3n}{2D_{\text{жел}}}: & y(j) = 1, & r(j) = 0; \\ \frac{3n}{2D_{\text{жел}}} \leq \text{count}(j): & y(j) = \left\lfloor \frac{\text{count}(j) \cdot (D_{\text{жел}} - T_1)}{n - n_1} \right\rfloor, & r(j) = (\text{count}(j) \cdot (D_{\text{жел}} - T_1)) \% (n - n_1). \end{cases}$$

(А)

| $j$                | 0 | 1  | 2 | 3  | 4  | 5 | 6 | 7  | $\sum / \Delta_\nu$ |
|--------------------|---|----|---|----|----|---|---|----|---------------------|
| $r_A(j)$           | 0 | 22 | 0 | 72 | 36 | 0 | 0 | 58 |                     |
| $y_A(j)$           | 0 | 2  | 1 | 28 | 29 | 1 | 0 | 1  | 62 (2)              |
| $\nu_A(j)$         | 0 | 2  | 1 | 29 | 29 | 1 | 0 | 2  | 64                  |
| $\tilde{\nu}_A(j)$ | 0 | 2  | 1 | 29 | 29 | 1 | 0 | 2  | 64                  |

(В)

| $j$                | 0 | 1  | 2 | 3  | 4  | 5 | 6 | 7 | $\sum / \Delta_\nu$ |
|--------------------|---|----|---|----|----|---|---|---|---------------------|
| $r_B(j)$           | 0 | 87 | 0 | 22 | 83 | 0 | 0 | 0 |                     |
| $y_B(j)$           | 0 | 1  | 1 | 29 | 29 | 1 | 0 | 1 | 62 (2)              |
| $\nu_B(j)$         | 0 | 2  | 1 | 29 | 30 | 1 | 0 | 1 | 64                  |
| $\tilde{\nu}_B(j)$ | 0 | 2  | 1 | 29 | 30 | 1 | 0 | 1 | 64                  |

Приведение (A):  $Max \rightarrow \sum$ 

$D_{\text{жел}} = 64$  и  $count = (0, 45, 30, 46, 47, 30, 0, 40)$ ,  $n = \sum count(j) = 238_{10} = 356_8$ , ненулевых  $T = 6$ .

① Непосредственное (A)  $\overrightarrow{count} \rightarrow \vec{\nu}$ :

| $j$              | 0 | 1  | 2  | 3  | 4   | 5  | 6 | 7   | $\sum$                |
|------------------|---|----|----|----|-----|----|---|-----|-----------------------|
| $r(j)$           | 0 | 0  | 58 | 58 | 116 | 58 | 0 | 174 |                       |
| $y(j)$           | 0 | 12 | 8  | 12 | 12  | 8  | 0 | 10  | 62 ( $\Delta_y = 2$ ) |
| $\nu(j)$         | 0 | 12 | 8  | 12 | 13  | 8  | 0 | 11  | 64                    |
| $\tilde{\nu}(j)$ | 0 | 12 | 8  | 12 | 13  | 8  | 0 | 11  | 64                    |

Разрядность  $\nu(j)$  больше байта  $\Rightarrow$  массив частот объёмнее, чем для Хаффмана.

② Вначале для записи в файл (A)  $\overrightarrow{count}$  к однобайтовым  $\vec{u}$ :  $\vec{u} = (0, 7, 5, 7, 7, 5, 0, 6)$ ,  $\sum u(j) = 37$ ;

| $j$                                                | 0 | 1  | 2  | 3  | 4  | 5  | 6 | 7  | $\sum$                |
|----------------------------------------------------|---|----|----|----|----|----|---|----|-----------------------|
| $r(j)$                                             | 0 | 7  | 15 | 7  | 7  | 15 | 0 | 11 |                       |
| затем (A) $\vec{u} \rightarrow \vec{\nu}$ : $y(j)$ | 0 | 12 | 8  | 12 | 12 | 8  | 0 | 10 | 62 ( $\Delta_y = 2$ ) |
| $\nu(j)$                                           | 0 | 12 | 9  | 12 | 12 | 9  | 0 | 10 | 64                    |
| $\tilde{\nu}(j)$                                   | 0 | 12 | 8  | 12 | 12 | 8  | 0 | 10 | 62                    |

В файл:  $\underbrace{0356}_n$ ,  $\underbrace{07577506}_{\vec{u}}$  и код по  $\vec{\nu} = (0, 12, 9, 12, 12, 9, 0, 10)$  (или по  $\tilde{\vec{\nu}}$  — как реализовано).

Две перенормировки  $\Rightarrow$  модель хуже подходит файлу  $\Rightarrow$  больше размер; для 8-битного байта менее выражено, но на некоторых файлах код Хаффмана эффективнее целочисленной реализации АС.

## Задачи для семинаров и вопросы

- 1 Найдите возможные пары  $N = 2^\alpha$  и  $D_{\text{жел}} = 2^\kappa$  для алфавита из октетов (8-битных байтов IBM PC),  $T_{\text{max}} = 2^8 = 256$  и а) 32-битной арифметики (все пары), б) 64-битной арифметики (граничные).
  - 2 Оцените максимально возможное  $\frac{\nu_{\text{max}}}{\nu_{\text{min}}}$  для октетов и  $D_{\text{жел}} \in \{2T, 4T, 8T, 16T\}$ .
  - 3 Рассчитайте  $\vec{\nu}$  при равных частотах, а также максимально возможное  $\frac{\nu_{\text{max}}}{\nu_{\text{min}}}$  для октетов и  $D_{\text{жел}} = 2^{16}$ .
- 
- 4 Пусть байт=октет, а  $D_{\text{жел}} = 2^{12} = 16T_{\text{max}}$ . В общем случае для  $\nu(j)$  требуется полтора октета, но во многих случаях достаточно одного: примерно равные частоты всех байтов —  $\nu \approx \frac{2^{12}}{256} = 16$ ; печатных ASCII-символов  $\frac{2^{12}}{95} \approx 40$  для ненулевых; строчной латиницы  $\frac{2^{12}}{25} \approx 160$  для ненулевых.
- Как без дополнительных служебных полей понять при чтении массива из 256 октетов с младшими частями  $\nu(j)$  — достаточно их или позже должны следовать  $\frac{4}{8} \cdot 256 = 128$  октетов с 256 4-битными старшими частями  $\nu(j)$ ?
- Реализуемо ли предложенное для  $D_{\text{жел}} = 2^{11}$  или  $2^{10}$ ?
- 5 Как выгоднее сохранять частоты октетов — 8-разрядными ( $\max \nu_j = 2^8 - 1$ ) с перенормировкой перед расчётом или готовыми  $\kappa$ -разрядными ( $\sum \nu_j = 2^\kappa$ ,  $\kappa > 8$ )? Обоснуйте ответ.

Сжатие  $\diamond$  БАНАН  $\hookrightarrow$  011\_ac\_samples/banan\_realset\_integerset.pdf

Входной поток: символы  $C = c_1 c_2 \dots c_n$ , выходной — биты  $B = b_1 b_2 b_3 \dots b_m$

- 0  $l = 0, t = N$ , бит зарезервировано  $\beta = 0$ , позиция символа  $i = 0$
- 1 чтение  $(++i)$  символа  $C \rightarrow c_i = \xi_j$ :  $\Delta = t - l$ ,  $\begin{cases} l \rightarrow l + \frac{\Delta \cdot \omega_{j-1}}{D} \\ t \rightarrow l + \frac{\Delta \cdot \omega_j}{D} \end{cases}$ , авост при  $t = l$ .
- 2 масштабирование  $l, t$ :  $\begin{cases} l \rightarrow 2(l - L) \\ t \rightarrow 2(t - L) \end{cases}$  и запись бита  $b$ , пока возможно (м.б. неск.):  
 $\left[ \frac{b \cdot N}{2}, \frac{(b+1) \cdot N}{2} \right), b \in \{0, 1\} \rightarrow [0, N)$  и запись  $b \rightarrow B$  ( $\underbrace{b \bar{b} b \dots \bar{b}}_{\beta} \rightarrow B, \beta \rightarrow 0$ )  
 $\left[ \frac{N}{4}, \frac{3N}{4} \right) \rightarrow [0, N)$  и  $++\beta$
- 3 если достигнуто  $i = n$  — запись  $1 \rightarrow B$  ( $\underbrace{1 0 0 \dots 0}_{\beta} \rightarrow B$ ) и завершение;  
 иначе переход к шагу 1

- 
- 1 Полученное  $z \in [0, 1)$  соответствует **бесконечно длинной строке**  
 $c_1 c_2 \dots c_n c_{n+1} c_{n+2} \dots \rightarrow$  необходимо сохранить исходную длину  $n$ .
  - 2 Поточный вариант —  $\nu_j$  и  $\omega_j$  пересчитываются.

# Распаковка

Символов —  $n$ , входной поток — биты  $B = b_1 b_2 b_3 \dots b_m 000 \dots$ ,  
выходной поток — символы  $C = c_1 c_2 \dots c_n$ .

①  $l = \lambda = 0, t = \tau = N$ , № бита  $k = 0$ , № символа  $i = 0$

① чтение  $(++k)$  бита  $B \rightarrow b_k$ :  $\delta = \tau - \lambda$ ,  $\begin{cases} \lambda \rightarrow \lambda + \frac{\delta \cdot b_k}{2}, \\ \tau \rightarrow \lambda + \frac{\delta \cdot (b_k + 1)}{2}. \end{cases}$

② получение и запись символа, если возможно:  $\Delta = t - l$ ,  $j \in \{1, \dots, T\}$

$$\exists j: [\lambda, \tau) \subseteq \left[ l + \frac{\Delta \cdot \omega_{j-1}}{D}, l + \frac{\Delta \cdot \omega_j}{D} \right) \implies ++i, \xi_j \rightarrow C, \begin{cases} l \rightarrow l + \frac{\Delta \cdot \omega_{j-1}}{D} \\ t \rightarrow l + \frac{\Delta \cdot \omega_j}{D} \end{cases}$$

③ масштабирование  $l, \lambda, \tau, t$ , пока возможно (м. б. несколько раз):

$[l, t) \subseteq [L, L + \frac{N}{2}) \implies [L, L + \frac{N}{2}) \rightarrow [0, N)$  (не влияет на выходной поток);  
когда уже невозможно — переход к шагу ②

④ если достигнуто  $i = n$  — завершение, иначе переход к шагу ①

$N = 2^\alpha \implies$  чтение бита точно  $\implies$  на шаге ① читаем сразу несколько бит (при  $k = 0$  читаем  $\alpha$  бит), чтобы получить ПИ вида  $[\lambda, \lambda + 1)$ .

## Полуинтервалы и отрезки

Выше в целочисленной реализации рабочий диапазон рассматривался как **полуинтервал**  $[l, t)$ ,  $l \leq z < t$ , где  $t$  — **невключаемая** верхняя граница.

**Тот же самый** диапазон можно представить как **отрезок**  $[l, h]$ ,  $l \leq z \leq h$ , где  $h = t - 1$  — **включаемая** верхняя граница.

Реализовать кодирование и декодирование можно как для полуинтервалов  $[l, t)/[\lambda, \tau)$ , так и для отрезков  $[l, h]/[\lambda, \chi]$ , но **все** соотношения будут различаться (см. следующий лист)!

# Основные соотношения для $t$ и $h$

|                                                                                                                                                            |                           |                                                                                                                                                                |                               |             |
|------------------------------------------------------------------------------------------------------------------------------------------------------------|---------------------------|----------------------------------------------------------------------------------------------------------------------------------------------------------------|-------------------------------|-------------|
| $[l, t) = [l, h]$                                                                                                                                          | $\iff$                    | $h = t - 1$                                                                                                                                                    | $\iff$                        | $t = h + 1$ |
| Полуинтервал $[l, t)$ , $l \leq z < t$                                                                                                                     |                           | Отрезок $[l, h]$ , $l \leq z \leq h$                                                                                                                           |                               |             |
| Длина                                                                                                                                                      |                           |                                                                                                                                                                |                               |             |
| $\Delta = t - l$                                                                                                                                           | $\delta = \tau - \lambda$ | $\Delta = h - l + 1$                                                                                                                                           | $\delta = \chi - \lambda + 1$ |             |
| Чтение символа $\xi_j$ или бита $b$                                                                                                                        |                           |                                                                                                                                                                |                               |             |
| $\begin{cases} l \rightarrow l + \frac{\Delta \cdot \omega_{j-1}}{D}, \\ t \rightarrow l + \frac{\Delta \cdot \omega_j}{D}, \end{cases}$ авост при $t = l$ |                           | $\begin{cases} l \rightarrow l + \frac{\Delta \cdot \omega_{j-1}}{D}, \\ h \rightarrow l + \frac{\Delta \cdot \omega_j}{D} - 1, \end{cases}$ авост при $h < l$ |                               |             |
| $\begin{cases} \lambda \rightarrow \lambda + \frac{\delta \cdot b}{2} \\ \tau \rightarrow \lambda + \frac{\delta \cdot (b+1)}{2} \end{cases}$              |                           | $\begin{cases} \lambda \rightarrow \lambda + \frac{\delta \cdot b}{2} \\ \chi \rightarrow \lambda + \frac{\delta \cdot (b+1)}{2} - 1 \end{cases}$              |                               |             |
| Масштабирование $[L, L + \frac{N}{2}) \rightarrow [0, N)$ , $L \in \{0, \frac{N}{4}, \frac{N}{2}\}$                                                        |                           |                                                                                                                                                                |                               |             |
| $[l, t) \subseteq [L, L + \frac{N}{2}) \iff \begin{cases} L \leq l \\ t \leq L + \frac{N}{2} \end{cases}$                                                  |                           | $[l, h] \subseteq [L, L + \frac{N}{2}) \iff \begin{cases} L \leq l \\ h < L + \frac{N}{2} \end{cases}$                                                         |                               |             |
| $\begin{cases} l \rightarrow 2(l - L) \\ t \rightarrow 2(t - L) \end{cases}$                                                                               |                           | $\begin{cases} l \rightarrow 2(l - L) \\ h \rightarrow 2(h - L) + 1 \end{cases}$                                                                               |                               |             |
|                                                                                                                                                            |                           | $2t - 1 = 2(h + 1) - 1 = 2h + 1$                                                                                                                               |                               |             |



## Д. Ватолин, целочисленный цикл (отрезки)

```
1 l[0] = 0; h[0] = 65535; i = 0; delitel = b[c_last];
2 First_qtr = (h[0] + 1)/4; Half = First_qtr*2; Third_qtr = First_qtr*3;
3 bits_to_follow = 0; // масштабирований [First_qtr; Third_qtr)
4 while (not DataFile.EOF()) {
5     c = DataFile.ReadSymbol(); i++; // Кодированный символ
6     j = IndexForSymbol(c);          // и его номер в алфавите
7     l[i] = l[i-1] + b[j-1]*(h[i-1] - l[i-1] + 1)/delitel;
8     h[i] = l[i-1] + b[j]*(h[i-1] - l[i-1] + 1)/delitel - 1;
9     for(;;) {                        // Варианты масштабирования
10         if (h[i] < Half)              // [l; h] лежит в [0; Half)
11             bits_plus_follow(0);
12         else if (l[i] >= Half) { // [l; h] лежит в [Half, max)
13             bits_plus_follow(1);
14             l[i] -= Half; h[i] -= Half;
15         }
16         else if ((l[i] >= First_qtr) && (h[i] < Third_qtr)) {
17             bits_to_follow++;
18             l[i] -= First_qtr; h[i] -= First_qtr;
19         } else break;
20         l[i] += l[i]; h[i] += h[i] + 1; // масштабирование *2
21     }
22 }
```

Арифметическое сжатие (концепт)  
Интервальное кодирование (базовые положения)  
Приведение частот  
Интервальное кодирование (реализация)  
Приведение частот (черновик)

Сжатие  $\diamond$  БАНАН  $\leftrightarrow$  011\_ac\_samples/banan\_realset\_integerset.pdf  
Распаковка  
Полуинтервалы и отрезки  
Основные соотношения для  $t$  и  $h$   
Д. Ватолин, целочисленный цикл (отрезки)

# Д. Ватолин, целочисленный цикл (отрезки), запись бита (bits\_plus\_follow)

```
1 void bits_plus_follow (int bit)
2 {
3     CompressedFile.WriteBit(bit);
4     for(; bits_to_follow > 0; bits_to_follow--)
5         CompressedFile.WriteBit(!bit);
6 }
```

$\text{bits\_to\_follow} = \beta$  — количество масштабирований из средней половины  $\left[\frac{1}{4}; \frac{3}{4}\right) \rightarrow [0; 1)$  подряд

Дмитрий Ватолин, МГУ,  
Media data compression.  
Сжатие без потерь



Арифметическое сжатие (концепт)  
Интервальное кодирование (базовые положения)  
Приведение частот  
Интервальное кодирование (реализация)  
Приведение частот (черновик)

Сжатие  $\diamond$  БАНАН  $\leftrightarrow$  011\_ac\_samples/banan\_realset\_integerset.pdf  
Распаковка  
Полуинтервалы и отрезки  
Основные соотношения для  $t$  и  $h$   
Д. Ватолин, целочисленный цикл (отрезки)

# Спасибо за внимание!

МИЭТ

[www.miet.ru](http://www.miet.ru)

Александра Игоревна Кононова

[illinc@mail.ru](mailto:illinc@mail.ru)

[gitlab.com/illinc/raspisanie](https://gitlab.com/illinc/raspisanie)

## Нормировка на точную сумму

При  $D = 2^k$  вычисления точнее  $\implies$  либо код немного короче, либо  $D^2 < \frac{N}{4}$  вместо  $\ll$ :  
 нужно найти  $\vec{\nu}$  с  $\sum \nu(j) = D_{\text{жел}}$ , где  $D_{\text{жел}} = 2^k \geq 2^{k+2}$  определено на этапе разработки алгоритма;  
 $\overrightarrow{\text{count}} = (\text{count}(0), \text{count}(1), \dots, \text{count}(2^k - 1))$ ,  $\sum \text{count}(j) = n$  — из исходного файла.

❶ Если  $n = D_{\text{жел}}$ , приведение не требуется:  $\nu(j) = \text{count}(j)$  для всех.

❷ Если  $n < D_{\text{жел}}$ : для  $\text{count}(j) = 0$  записываем  $\nu(j) = 0$ ;  
 осталось  $T$  штук ненулевых частот  $\text{count}(j) \geq 1$ :

- рассчитываем нецелые  $x(j) = \frac{\text{count}(j)}{n} \cdot D_{\text{жел}} > \text{count}(j) \geq 1$ ;  $\sum x(j) = D_{\text{жел}}$ ;
- округляем  $x(j)$  до целых с сохранением суммы:  $\nu(j) = \text{round}_{\sum} (x(j))$ .

Нулевые  $\text{count}(j) = 0$  можно и по общему правилу:  $x(j) = \frac{\text{count}(j)}{n} \cdot D_{\text{жел}} = 0$  — целые  $\implies \nu(j) = 0$ .

❸ Если  $n > D_{\text{жел}}$ , то может быть  $x(j) = \frac{\text{count}(j)}{n} \cdot D_{\text{жел}} < 1 \implies$  дополнительное искажение.

Как и для нормировки на максимум (для Хаффмана), есть два способа:

- искажение всех соотношений  $\nu(i) : \nu(j) \approx \text{count}(i) : \text{count}(j)$  понемногу (A);
- более точное  $\nu(i) : \nu(j) \approx \text{count}(i) : \text{count}(j)$  для больших частот, а для малых  $\nu(i) : \nu(j) = 1 : 1$  (B).

Здесь и далее  $z(j) = \text{round}_{\Sigma}(x(j))$  – округление **набора** значений с сохранением суммы:

- точно сохранив сумму:  $\sum z(j) = D$ ;
- максимально сохранив значения:  $z(j) \approx x(j)$ .

- 1  $y(j) = \lfloor x(j) \rfloor$  (округляем все значения вниз);
  - 2  $\Delta_y = D_{\text{жел}} - \sum y(j)$  (рассчитываем, сколько не хватает до  $D$ );  $\Delta_y$  целое;  $\Delta_y = \sum \{x(j)\} \leq T$ ;
  - 3 упорядочиваем значения по убыванию дробной части исходных  $\{x(j)\}$ :
    - для первых  $\Delta_y$  штук  $z(j) = y(j) + 1$  ( $x(j)$  с самыми большими дробными частями округляем вверх);
    - для остальных  $z(j) = y(j)$  (остальные — с меньшими дробными частями — округляем вниз).
- (Альтернативный 3 без пересортировок:  $\Delta_y$  раз ищем  $j$  с наибольшим  $\{x(j)\}$  и заменяем  $y(j) \rightarrow y(j) + 1$ ,  $\{x(j)\} \rightarrow 0$ ; после завершения  $\Delta_y$  замен полагаем  $z(j) = y(j)$ ).

Полученные таким образом  $z(j)$ :    ● целые;    ●  $z(j) \approx x(j)$ ;    ●  $\sum z(j) = \sum y(j) + \Delta_y = D$ ;

- если  $\forall j: x(j) \geq a$  для какого-либо  $a \in \mathbb{Z}$ , то и  $\forall j: z(j) \geq a$ ;
- если среди  $x(j)$  есть  $R$  штук целых — все они сохраняют значение при округлении:  $z(j) = x(j)$ .

Целочисл.,  $x(j)$  вида  $\frac{u(j) \cdot D}{U}$ : сразу  $y(j) = \left\lfloor \frac{u(j) \cdot D}{U} \right\rfloor$ ; вместо  $0 \leq \{x(j)\} < 1$  целое  $0 \leq (u(j) \cdot D) \% U < U$

**(A)  $\sum count(j) = n$  к  $\sum \nu(j) = D_{\text{жел}} \geq T$ , искажение всех частот**

Приведение (A) — аналогично  $\text{round} \left( \frac{count(i)-1}{\max(count)-1} \cdot (Max - 1) \right) + 1$  для нормировки на максимум:

- ❶ Для  $count(j) = 0$  записываем  $\nu(j) = 0 \implies$  осталось  $T \leq 2^k$  ненулевых значений:
  - $count(j) \geq 1, \sum count(j) = n$ ;
  - необходимо привести к  $\nu(j) \geq 1$  с суммой  $\sum \nu(j) = D_{\text{жел}}$ .
- ❷ Рассмотрим значения  $u(j) = count(j) - 1$ , тогда  $u(j) \geq 0$ ,  $\sum u(j) = \sum (count(j) - 1) = n - T$ ;  
 будем приводить к  $\theta(j) = \nu(j) - 1$ ,  $\theta(j) \geq 0$ ,  $\sum \theta(j) = \sum (\nu(j) - 1) = D_{\text{жел}} - T$ :  

$$x(j) = \frac{u(j)}{n-T} \cdot (D_{\text{жел}} - T) \implies \theta(j) = \text{round}_{\Sigma} (x(j)) \implies \nu(j) = \theta(j) + 1.$$

Так как  $\text{round}_{\Sigma}$  проще реализовать на массиве «без дыр», а целочисленные значения сохраняются:

$$\text{❶ } x(j) = \begin{cases} 0, & count(j) = 0, (2^k - T) \text{ штук,} \\ \frac{(count(j)-1) \cdot (D_{\text{жел}} - T)}{n-T} + 1, & count(j) > 0, T \text{ штук;} \end{cases} \quad \text{❷ } \nu(j) = \text{round}_{\Sigma} (x(j)).$$

«Целочисленная дробная часть»  $r(j) = \{x(j)\} \cdot (n - T)$ ,  $0 \leq r(j) < (n - T)$ :

$$\begin{cases} count(j) = 0: y(j) = 0, & r(j) = 0; \\ count(j) > 0: y(j) = \left\lfloor \frac{(count(j)-1) \cdot (D_{\text{жел}} - T)}{n-T} \right\rfloor + 1, & r(j) = ((count(j) - 1) \cdot (D_{\text{жел}} - T)) \% (n - T). \end{cases}$$

Применимо и для  $n \leq D_{\text{жел}}$ , при этом  $1 \rightarrow 1$ ; результат отличается от  $\text{round}_{\Sigma} \left( \frac{count(j)}{n} \cdot D_{\text{жел}} \right)$ .



(В)  $\sum count(j) = n$  к  $\sum \nu(j) = D_{\text{жел}} \geq 4T$ , все малые частоты в 1

Приведение (В) — аналогично  $\text{round}\left(\frac{count(i)}{\max(count)} \cdot Max\right)$ : для больших  $\nu(j) \approx \frac{count(j)}{n} \cdot D_{\text{жел}}$ ,  
при  $\frac{1}{2} < \frac{count(j)}{n} \cdot D_{\text{жел}} < \frac{3}{2} \left( \frac{1}{2} \cdot \frac{n}{D_{\text{жел}}} < count(j) < \frac{3}{2} \cdot \frac{n}{D_{\text{жел}}} \right) \nu(j) \approx 1$ ; при меньшем принудительно 1.

❶ Для  $count(j) = 0$  записываем  $\nu(j) = 0 \Rightarrow$  осталось  $T \leq 2^k$  ненулевых  $count(j)$ ,  $\sum count(j) = n$ .

❷ Для  $1 \leq count(j) < \frac{3n}{2D_{\text{жел}}}$  записываем  $\nu(j) = 1$  (пусть их  $T_1 \leq T$  штук и  $\sum count(j) = n_1 \leq n$ ).

При этом  $T_1 < T$  и  $n_1 < n$  (если  $T_1 = T$ , то  $n = \sum count(j) < \sum \frac{3n}{2D_{\text{жел}}} = T \cdot \frac{3n}{2D_{\text{жел}}}$ , но  $D_{\text{жел}} \geq 4T$ ).

❸ Оставшиеся  $T - T_1$  частот с  $\sum count(j) = n - n_1$  приводим к  $\sum \nu(j) = D_{\text{жел}} - T_1$ .

$$x(j) = \begin{cases} 0, & count(j) = 0, \\ 1, & 1 \leq count(j) < \frac{3n}{2D_{\text{жел}}}, \\ \frac{count(j) \cdot (D_{\text{жел}} - T_1)}{n - n_1}, & count(j) \geq \frac{3n}{2D_{\text{жел}}}; \end{cases} \Rightarrow \nu(j) = \text{round}_{\Sigma} (x(j)).$$

При  $D_{\text{жел}} \geq 4T$  в третьем случае  $\frac{count(j) \cdot (D_{\text{жел}} - T_1)}{n - n_1} > \frac{\frac{3n}{2D_{\text{жел}}} \cdot (D_{\text{жел}} - T)}{n} = \frac{3}{2} \cdot \left(1 - \frac{T}{D_{\text{жел}}}\right) \geq \frac{9}{8} > 1$ .

Применимо и для  $n \leq D_{\text{жел}}$ , при этом  $1 \rightarrow 1$ ; отличается от  $\text{round}_{\Sigma} \left( \frac{count(j)}{n} \cdot D_{\text{жел}} \right)$  и от (А).

Приведение (А) и (В):  $n < D_{\text{жел}}$ 

Пусть  $D_{\text{жел}} = 2^6 = 64$  и  $\overrightarrow{\text{count}} = (0, 3, 1, 16, 17, 1, 0, 2)$ ,  $n = \sum \text{count}(j) = 40$ ; ненулевых частот  $T = 6$ :

Приведение (А):  $D_{\text{жел}} - T = 58$ ,  $n - T = 34$ :

$$\begin{cases} \text{count}(j) = 0: & y(j) = 0, & r(j) = 0; \\ \text{count}(j) > 0: & y(j) = \left\lfloor \frac{(\text{count}(j)-1) \cdot (D_{\text{жел}}-T)}{n-T} \right\rfloor + 1, & r(j) = ((\text{count}(j) - 1) \cdot (D_{\text{жел}} - T)) \% (n - T). \end{cases}$$

| $j$      | 0 | 1  | 2 | 3  | 4  | 5 | 6 | 7  | $\Sigma$ |
|----------|---|----|---|----|----|---|---|----|----------|
| $r(j)$   | 0 | 14 | 0 | 20 | 10 | 0 | 0 | 24 |          |
| $y(j)$   | 0 | 4  | 1 | 26 | 28 | 1 | 0 | 2  | 62       |
| $\nu(j)$ | 0 | 4  | 1 | 27 | 28 | 1 | 0 | 3  | 64       |

$\Delta_y = D_{\text{жел}} - \sum y = 2$

Приведение (В):  $\frac{3n}{2D_{\text{жел}}} \approx 0,9 \Rightarrow$  значений  $1 \leq \text{count}(j) < \frac{3n}{2D_{\text{жел}}}$  нет,  $T_1 = n_1 = 0$

$$\begin{cases} \text{count}(j) = 0: & y(j) = 0, & r(j) = 0; \\ 1 \leq \text{count}(j) < \frac{3n}{2D_{\text{жел}}}: & y(j) = 1, & r(j) = 0; \\ \frac{3n}{2D_{\text{жел}}} \leq \text{count}(j): & y(j) = \left\lfloor \frac{\text{count}(j) \cdot (D_{\text{жел}} - T_1)}{n - n_1} \right\rfloor, & r(j) = (\text{count}(j) \cdot (D_{\text{жел}} - T_1)) \% (n - n_1). \end{cases}$$

| $j$      | 0 | 1  | 2  | 3  | 4  | 5  | 6 | 7 | $\Sigma$ |
|----------|---|----|----|----|----|----|---|---|----------|
| $r(j)$   | 0 | 32 | 24 | 24 | 8  | 24 | 0 | 8 |          |
| $y(j)$   | 0 | 4  | 1  | 25 | 27 | 1  | 0 | 3 | 61       |
| $\nu(j)$ | 0 | 5  | 2  | 26 | 27 | 1  | 0 | 3 | 64       |

$\Delta_y = D_{\text{жел}} - \sum y = 3$